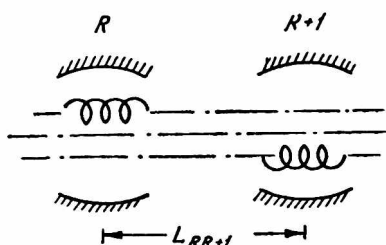


## КИНЕМАТИЧЕСКОЕ ГРУППИРОВАНИЕ ВИНТОВЫХ ЭЛЕКТРОННЫХ ПОТОКОВ

*В. А. Жураховский*

Киев

В статье теоретически рассматриваются вопросы группировки электронов винтового потока на участках дрейфа многокаскадного модулятора, т. е. исследуются коллективные процессы в резонаторном секционированном группирователе с большим числом каскадов. Это практически наиболее интересные случаи, поскольку каскадная группировка позволяет достичь высокой эффективности при отборе мощности от винтового электронного потока, что особо важно в гирорезонансных приборах, предназначенных преимущественно для больших мощностей.



Произведем анализ группировки электронов винтового потока, пронизывающего цепочку проходных резонаторов (см. рисунок) с колебаниями  $TE$ -типа, развязанных по высокой частоте. Резонаторы условимся считать достаточно короткими (по сравнению с участками дрейфа) и потому приближенно заменим результат взаимодействия потока с ВЧ полем результатом воздействия на электрон ударной силы, сосредоточенной в среднем сечении резонатора. Вследствие симметрии

продольного распределения поперечной компоненты ВЧ магнитного поля относительно среднего сечения резонатора в слабосигнальном приближении можно пренебречь результатом воздействия на электрон продольных лоренцовых сил и изменением продольного импульса.

Точки приложения ударных сил разделены сравнительно длинными участками дрейфа. Вся система в целом погружена в статическое магнитное поле, однородное либо плавно (адиабатически) изменяющееся вдоль оси системы; в последнем случае продольная  $v_z$  и поперечная  $v_t$  составляющие скорости электрона вдоль участка дрейфа не остаются постоянными, хотя полная скорость  $v$  сохраняется (здесь и ниже термины «продольная», «поперечная» относятся к системе координат на силовой линии магнитного поля, с которой связан рассматриваемый электрон).

### Продольная и поперечная скорость электронов в секции модуляции и на дрейфе

Пусть к резонатору с номером  $k$  приходит электрон с компонентами скорости

$$v_{zk-0} = v_{\parallel k} + \tilde{v}_{zk-0}, \quad v_{tk-0} = v_{\perp k} + \tilde{v}_{tk-0}, \quad (1)$$

где  $v_{\parallel k}$ ,  $v_{\perp k}$  — невозмущенные ударными силами величины; а  $\tilde{v}_{zk-0}$ ,

$\tilde{v}_{tk-0}$  — суммарные результаты возмущений, получаемые от резонаторов с меньшими номерами, чем рассматриваемый.

Вследствие воздействия сосредоточенной силы, отвечающей в принятой модели полю  $TE$ -типа, на выходе  $k$ -го резонатора поперечная скорость электрона уже иная

$$v_{tk+0} = v_{\perp k} + \tilde{v}_{tk-0} + \tilde{v}_{tk}, \quad (2)$$

вместе с тем меняется и продольная скорость, однако сохраняется (с учетом релятивистского изменения массы) продольный импульс:

$$v_{zk+0} = v_{zk-0} \sqrt{\frac{1 - \beta_{k+0}^2}{1 - \beta_{k-0}^2}} = v_{zk-0} \sqrt{\frac{1 - \beta_{tk+0}^2}{1 - \beta_{tk-0}^2}}, \quad (3)$$

где  $\beta = \frac{v}{c}$ ;  $\beta_t = \frac{v_t}{c}$ ;  $c$  — скорость света.

Пройдя  $k$ -й резонатор, электрон попадает на участок дрейфа, где, как отмечалось, сохраняется его полная скорость и сохраняется так называемый поперечный адиабатический инвариант — отношение квадрата поперечной скорости к текущей индукции магнитного поля

$$v_{tk+0}^2 + v_{zk+0}^2 = v_t^2 + v_z^2; \quad (4)$$

$$\frac{v_{tk+0}^2}{B_k} = \frac{v_t^2}{B_{kk+1}},$$

где  $B_k$  и  $B_{kk+1}$  — соответственно индукция поля в зоне  $k$ -го резонатора и между  $k$ -м и  $(k+1)$ -м резонаторами.

Из соотношений (4) следует выражение для текущего значения квадрата продольной скорости на дрейфе между резонаторами с номерами  $k$ ,  $k+1$ :

$$v_z^2 = v_{zk+0}^2 - \varphi_{kk+1} v_{tk+0}^2; \quad \varphi_{kk+1} = \left( \frac{B_{kk+1}}{B_k} \right) - 1. \quad (5)$$

Таким образом, модуляция поперечной скорости сопровождается модуляцией продольной скорости, а это приводит, как в обычной классической лампе с прямолинейным электронным потоком, к зависимости времени пролета электроном любого участка дрейфа от его фазы влета в первый резонатор, т. е. к продольной группировке. Релятивистское изменение гирочастоты может привести также к азимутальной группировке заряженных частиц — эффекту, не имеющему аналога в классических секционированных приборах.

### Азимутальная координата и длительность пребывания электрона на дрейфе

Учитывая (5), можно проследить поведение азимутальной координаты  $\vartheta$  вращающегося вокруг силовой линии и одновременно дрейфующего вдоль этой линии электрона, переходя от текущей угловой скорости на дрейфе между резонаторами с номерами  $k$ ,  $k+1$

$$\dot{\vartheta}_{kk+1} = \eta_0 B_{kk+1} \sqrt{1 - \beta^2} \quad (6)$$

к производной по продольной координате  $z \in (0; L_{kk+1})$ , где  $L_{kk+1}$  — длина дрейфа между резонаторами с номерами  $k$ ,  $k+1$ :

$$\frac{d\vartheta_{kk+1}}{dz} = \frac{\eta_0 B_{kk+1} \sqrt{1 - \beta^2}}{v_z} = \frac{\eta_0 B_k \sqrt{1 - \beta_{k+0}^2}}{v_{zk+0}} \cdot \frac{1 + \varphi_{kk+1}}{\sqrt{1 - \varphi_{kk+1} \frac{v_{tk+0}^2}{v_{zk+0}^2}}} = \quad (7)$$

$$= \frac{\eta_0 B_k \sqrt{1 - \beta_{k-0}^2}}{v_{zk-0}} \cdot \frac{1 + \varphi_{kk+1}}{\sqrt{1 - \varphi_{kk+1} \frac{v_{tk+0}^2}{v_{zk+0}^2}}} = \dots$$

Здесь использован результат (3);  $\eta_0$  — удельный заряд электрона при

нулевой скорости. Выполняя преобразования типа (7) нужное число раз, получаем окончательно

$$\frac{d\vartheta_{kk+1}}{dz} = \frac{\tau_{10} B_1 \sqrt{1 - \beta_{1-0}^2}}{v_{z1-0}} \cdot \frac{1 + \varphi_{kk+1}}{\sqrt{1 - \varphi_{kk+1} \frac{v_{ik+0}^2}{v_{zk+0}^2}}} \prod_{i=1}^{k-1} \frac{1 + \Phi_{ii+1}}{\sqrt{1 - \Phi_{ii+1} \frac{v_{ii+0}^2}{v_{zi+0}^2}}}, \quad (8)$$

$$\text{где } \Phi_{ii+1} = \left( \frac{B_{i+1}}{B_i} \right) - 1.$$

Из (8) видно, что при каскадном группировании в однородном магнитном поле ( $\varphi_{kk+1} \equiv 0$  для любого  $k$ ) даже при наличии ударных сил движение электронов, связанных с данной силовой линией направляющего магнитного поля, происходит по единой фиксированной винтовой траектории (частицы перемещаются подобно бусинкам на общей неподвижной криволинейной нити), тогда как в неоднородном поле для каждого сечения  $z = \text{const}$  наблюдается веерообразное сканирование азимутальной координаты с частотой модулирующего сигнала.

Вновь обратимся к (5) с целью установления зависимости текущего времени пребывания электрона на дрейфе между резонаторами с номерами  $k, k+1$  от продольной координаты

$$\begin{aligned} \frac{d\tau_{kk+1}}{dz} &= \frac{1}{v_z} = \frac{1}{v_{zk+0} \sqrt{1 - \varphi_{kk+1} \frac{v_{ik+0}^2}{v_{zk+0}^2}}} = \\ &= \frac{\sqrt{1 - \beta_{ik-0}^2}}{v_{zk-0}} \cdot \frac{1}{\sqrt{1 - \beta_{ik+0}^2} \sqrt{1 - \varphi_{kk+1} \frac{v_{ik+0}^2}{v_{zk+0}^2}}} = \\ &= \frac{\sqrt{1 - \beta_{ik-1+0}^2} (1 + \Phi_{k-1k})}{v_{zk-0}} \cdot \frac{1}{\sqrt{1 - \beta_{ik+0}^2} \sqrt{1 - \varphi_{kk+1} \frac{v_{ik+0}^2}{v_{zk+0}^2}}} = \\ &= \frac{\sqrt{1 - \beta_{ik-1-0}^2}}{v_{zk-1-0}} \sqrt{\frac{1 - \beta_{ik-1+0}^2 (1 + \Phi_{k-1k})}{(1 - \beta_{ik-1+0}^2) \left( 1 - \Phi_{k-1k} \frac{v_{ik-1+0}^2}{v_{zk-1+0}^2} \right)}} \times \\ &\times \frac{1}{\sqrt{(1 - \beta_{ik+0}^2) \left( 1 - \varphi_{kk+1} \frac{v_{ik+0}^2}{v_{zk+0}^2} \right)}} = \dots, \quad (9) \end{aligned}$$

где использованы результаты (3), (4). Выполняя преобразования типа (9) нужное число раз, получаем окончательно

$$\begin{aligned} \frac{d\tau_{kk+1}}{dz} &= \frac{\sqrt{1 - \beta_{1-0}^2}}{v_{z1-0}} \cdot \frac{1}{\sqrt{(1 - \beta_{ik+0}^2) \left( 1 - \varphi_{kk+1} \frac{v_{ik+0}^2}{v_{zk+0}^2} \right)}} \times \\ &\times \prod_{i=1}^{k-1} \sqrt{\frac{1 - \beta_{ii+0}^2 (1 + \Phi_{ii+1})}{(1 - \beta_{ii+0}^2) \left( 1 - \Phi_{ii+1} \frac{v_{ii+0}^2}{v_{zi+0}^2} \right)}}. \quad (10) \end{aligned}$$

Особый интерес для практики гирорезонансных приборов представляет случай, когда все резонаторы находятся в магнитном поле одинаковой индукции,  $\Phi_{ii+1} = 0$  (на участках дрейфа поле может быть и неоднородным,  $\varphi_{kk+1} \neq 0$ ). При этом выражения (8), (10) значительно упрощаются

$$\frac{d\delta_{kk+1}}{dz} = \frac{\Omega}{v_{\parallel}} \cdot \frac{1 + \varphi_{kk+1}}{\sqrt{1 - \varphi_{kk+1} \frac{v_{ik+0}^2}{v_{zk+0}^2}}};$$

$$\frac{d\tau_{kk+1}}{dz} = \frac{1}{v_{\parallel}} \cdot \frac{\sqrt{1 - \beta_{\perp}^2}}{\sqrt{1 - \beta_{ik+0}^2}} \cdot \frac{1}{\sqrt{1 - \varphi_{kk+1} \frac{v_{ik+0}^2}{v_{zk+0}^2}}},$$
(11)

где  $\Omega = \eta_0 B_0 \sqrt{1 - \beta_0^2}$ ;  $\beta_{\perp} = \frac{v_{\perp}}{c}$ ;  $B_0 \equiv B_1 = B_2 = \dots = B_k$ ;  $\beta_0 = \beta_{1-0}$ .

Следует заметить, что указанное здесь ограничение не распространяется на заключительную секцию прибора (предназначенную для отбора мощности от сгруппированного пучка), магнитное поле которой в рамках условия адиабатичности может не совпадать с полем в резонаторах группирователя.

### Слабосигнальное приближение

Введем обычное предположение линейной теории о малой глубине модуляции скорости в каждом резонаторе, т. е.

$$\left| \frac{\tilde{v}_{ii}}{v_{\perp}} \right| \ll 1; \quad i = 1, 2, \dots, k.$$
(12)

Это позволяет провести в соотношениях (11) линеаризацию по параметру (12). Полагая его достаточно малым для выполнения неравенств

$$\left| \frac{\tilde{v}_{ii}}{v_{\perp}} \cdot \frac{2}{1 - \beta_{\perp}^2} \right|, \quad \left| \frac{\tilde{v}_{ii}}{v_{\perp}} \cdot \frac{2}{1 - \beta_{\perp}^2} \cdot \frac{q^2 \varphi_{ii+1}}{1 - q^2 \varphi_{ii+1}} \right| \ll 1;$$

$$q \equiv \frac{v_{\perp}}{v_{\parallel}},$$
(13)

сопутствующих процессу линеаризации, имеем

$$\frac{d\delta_{kk+1}}{dz} = \frac{\Omega}{v_{\parallel}} (1 + \varphi_{kk+1}) \left[ \left( 1 - \varphi_{kk+1} \frac{v_{ik+0}^2}{v_{zk+0}^2} \right)^{-\frac{1}{2}} + \right.$$

$$\left. + \tilde{v}_{ik} q^2 \frac{\varphi_{kk+1}}{v_{\perp} (1 - \beta_{\perp}^2) (1 - q^2 \varphi_{kk+1})^{\frac{3}{2}}} \right] = \dots$$
(14)

Повторяя линеаризацию по образцу (14) нужное число раз, получаем

$$\frac{d\delta_{kk+1}}{dz} = \frac{\Omega}{v_{\parallel}} \left[ \frac{(1 + \varphi_{kk+1})^{\frac{1}{2}}}{(1 - q^2 \varphi_{kk+1})^{\frac{1}{2}}} + \right.$$

$$\left. + \left( \sum_{i=1}^k \tilde{v}_{ii} \right) q^2 \frac{(\varphi_{kk+1} + \varphi_{kk+1}^2)}{v_{\perp} (1 - \beta_{\perp}^2) (1 - q^2 \varphi_{kk+1})^{\frac{3}{2}}} \right].$$
(15)

Если  $s = \frac{z}{L_{ii+1}}$  — текущая безразмерная координата, то, согласно (15),

$$\begin{aligned} \vartheta_{k+1} = \vartheta_k + \frac{\Omega}{v_{\parallel}} L_{kk+1} \int_0^1 \frac{(1 + \varphi_{kk+1}) ds}{(1 - q^2 \varphi_{kk+1})^{\frac{1}{2}}} + \\ + \frac{v_{\perp} \Omega L_{kk+1} \sum_{i=1}^k \tilde{v}_{ii}}{v_{\parallel}^3 (1 - \beta_{\perp}^2)} \int_0^1 \frac{\varphi_{kk+1} + \varphi_{kk+1}^2 ds}{(1 - q^2 \varphi_{kk+1})^{\frac{3}{2}}}, \end{aligned} \quad (16)$$

где  $\vartheta_i$  — азимутальная координата электрона в момент прохождения им середины  $i$ -го резонатора. Повторяя рекуррентную формулу (16), окончательно получаем

$$\vartheta_{k+1} = C_{k+1}^{\vartheta} + \frac{v_{\perp} \Omega}{v_{\parallel}^3 (1 - \beta_{\perp}^2)} \sum_{i=1}^k \sum_{j=1}^i \tilde{v}_{ij} L_{ii+1} \int_0^1 \frac{\varphi_{ii+1} + \varphi_{ii+1}^2 ds}{(1 - q^2 \varphi_{ii+1})^{\frac{3}{2}}}. \quad (17)$$

Здесь

$$C_{k+1}^{\vartheta} \equiv \vartheta_1 + \frac{\Omega}{v_{\parallel}} \sum_{i=1}^k L_{ii+1} \int_0^1 \frac{(1 + \varphi_{ii+1}) ds}{(1 - q^2 \varphi_{ii+1})^{\frac{1}{2}}} - \quad (18)$$

общая для всех электронов константа.

Обращаясь теперь ко второму из соотношений (11) при использовании неравенств (12), (13) и

$$\left| \frac{\tilde{v}_{ii}}{v_{\perp}} \cdot \frac{2q^2}{1 - \beta_{\perp}^2} \left( \frac{\varphi_{ii+1}}{1 - q^2 \varphi_{ii+1}} + \beta_{\parallel}^2 \right) \right| \ll 1, \quad (19)$$

$$\beta_{\parallel} \equiv v_{\parallel}/c,$$

аналогично предыдущему, имеем

$$\begin{aligned} \frac{d\tau_{kk+1}}{dz} = \frac{1}{v_{\parallel}} \cdot \frac{\sqrt{1 - \beta_{\perp}^2}}{\sqrt{1 - \beta_{ik-1+0}^2}} \left( 1 - \varphi_{kk+1} \frac{v_{ik-1+0}^2}{v_{zk-1+0}^2} \right)^{-\frac{1}{2}} + \\ + \tilde{v}_{tk} v_{\perp} \frac{\beta_{\parallel}^2 + (1 - \beta_{\perp}^2) \varphi_{kk+1}}{v_{\parallel}^3 (1 - \beta_{\perp}^2) (1 - q^2 \varphi_{kk+1})^{\frac{3}{2}}} = \dots \end{aligned} \quad (20)$$

Повторяя линеаризацию по образцу (20) нужное число раз, получаем

$$\begin{aligned} \frac{d\tau_{kk+1}}{dz} = \frac{1}{v_{\parallel} (1 - q^2 \varphi_{kk+1})^{\frac{1}{2}}} + \\ + \left( \sum_{i=1}^k \tilde{v}_{ii} \right) \frac{v_{\perp} [\beta_{\parallel}^2 + (1 - \beta_{\perp}^2) \varphi_{kk+1}]}{v_{\parallel}^3 (1 - \beta_{\perp}^2) (1 - q^2 \varphi_{kk+1})^{\frac{3}{2}}}. \end{aligned} \quad (21)$$

Если  $\omega$  — частота модуляции, то, согласно (21),

$$\omega t_{k+1} = \omega t_k + \frac{\omega}{v_{\parallel}} L_{kk+1} \int_0^1 \frac{ds}{(1 - q^2 \varphi_{kk+1})^{\frac{1}{2}}} + \frac{v_{\perp} \omega L_{kk+1} \sum_{i=1}^k \tilde{v}_{ii}}{v_{\parallel}^3 (1 - \beta_{\perp}^2)} \int_0^1 \frac{\beta_{\parallel}^2 + (1 - \beta_{\perp}^2) \varphi_{kk+1}}{(1 - q^2 \varphi_{kk+1})^{\frac{3}{2}}} ds, \quad (22)$$

где  $t_i$  — момент прохождения электроном середины  $i$ -го резонатора. Повторяя рекуррентную формулу (22), окончательно имеем

$$\omega t_{k+1} = C_{k+1}^{\omega\tau} + \omega t_1 + \frac{v_{\perp} \omega}{v_{\parallel}^3 (1 - \beta_{\perp}^2)} \sum_{i=1}^k \sum_{j=1}^i \tilde{v}_{ij} L_{ii+1} \int_0^1 \frac{\beta_{\parallel}^2 + (1 - \beta_{\perp}^2) \varphi_{ii+1}}{(1 - q^2 \varphi_{ii+1})^{\frac{3}{2}}} ds. \quad (23)$$

Здесь

$$C_{k+1}^{\omega\tau} = \frac{\omega}{v_{\parallel}} \sum_{i=1}^k L_{ii+1} \int_0^1 \frac{ds}{(1 - q^2 \varphi_{ii+1})^{\frac{1}{2}}} - \quad (24)$$

общая для всех электронов константа.

### Эффективные фазы сил поля в резонаторах секционированного группирователя

Как уже отмечалось, эффективная фаза попадающих в  $(k + 1)$ -й резонатор электронов винтового потока относительно воздействующих со стороны высокочастотного поля сил зависит как от момента времени  $t_{k+1}$ , так и от угла поворота  $\vartheta_{k+1}$ . При правовинтовом потоке, взаимодействующем соответственно с силами круговой поляризации того же направления и не взаимодействующем с противоположно вращающимися силами, которые также существуют при линейной поляризации поля, следует иметь в виду, что более ранние электроны (с меньшим значением  $\omega t_{k+1}$ ) встречают и более раннюю фазу поля, тогда как частицы с меньшим значением геометрической фазы  $\vartheta_{k+1}$  «видят» более позднюю фазу повернутого относительно электронов поля, так что два отмеченные эффекта работают в противоположные стороны.

Примем, что  $i$ -й резонатор возбужден с начальной фазой  $\psi_i$  на  $m_i$ -м оберitone основной частоты модуляции  $\omega$ , а гирочастота составляет  $n_i$ -ю долю от  $m_i \omega$ . Тогда эффективная фаза электрона относительно квазистационарных сил поля в  $(k + 1)$ -м резонаторе запишется как

$$\theta_{k+1} = m_{k+1} (\psi_{k+1} + \omega t_{k+1}) - n_{k+1} \vartheta_{k+1}, \quad (25)$$

причем произвольная константа  $\vartheta_1$  в (18) может быть выбрана для удобства таким образом, что в первом резонаторе

$$\psi_1 - n_1 \vartheta_1 = 0, \quad \theta_1 = \omega t_1. \quad (26)$$

Подстановка (17), (23) в (25) дает

$$\theta_{k+1} = m_{k+1} (C_{k+1}^{\omega\tau} + \psi_{k+1} + \omega t_1) - n_{k+1} C_{k+1}^{\vartheta} + \frac{v_{\perp}}{v_{\parallel}^3 (1 - \beta_{\perp}^2)} \times \sum_{i=1}^k \sum_{j=1}^i \tilde{v}_{ij} L_{ii+1} \int_0^1 \frac{m_{k+1} \omega [\beta_{\parallel}^2 + (1 - \beta_{\perp}^2) \varphi_{ii+1}] - n_{k+1} \Omega (\varphi_{ii+1} + \varphi_{ii+1}^2)}{(1 - q^2 \varphi_{ii+1})^{\frac{3}{2}}} ds. \quad (27)$$

Для краткости записи поправочный коэффициент, учитывающий неоднородность направляющего магнитного поля на дрейфе между резонаторами с номерами  $i, i + 1$  и обращающийся в единицу для однородного поля, обозначим как

$$b_{ii+1} = \int_0^1 \frac{1 + (1 - \beta_{\perp}^2) \beta_{\parallel}^{-2} \varphi_{ii+1} - \frac{n_{k+1} \Omega}{m_{k+1} \omega} \beta_{\parallel}^{-2} (\varphi_{ii+1} + \varphi_{ii+1}^2)}{(1 - q^2 \varphi_{ii+1})^{\frac{3}{2}}} ds; \quad (28)$$

вместо (27) записываем

$$\begin{aligned} \theta_{k+1} = & m_{k+1} (C_{k+1}^{\omega\tau} + \psi_{k+1} + \omega t_1) - n_{k+1} C_{k+1}^{\beta} + \\ & + \frac{m_{k+1} \omega q}{(1 - \beta_{\perp}^2) c^2} \sum_{i=1}^k \sum_{j=1}^i \tilde{v}_{ij} L_{ii+1} b_{ii+1}. \end{aligned} \quad (29)$$

Почти все коэффициенты  $b_{ii+1}$ , согласно (28), в зависимости от данного закона изменения магнитного поля на конкретном дрейфе могут стать отрицательными. Это дает большую свободу в варьировании параметрами отдельных звеньев каскадного группирователя как целого для обеспечения наилучшей степени группирования электронов.

Проходя резонаторы, поток эффективно взаимодействует с полем в том случае, если выполнены известные условия синхронизма — резонанса частот

$$m_{k+1} \omega \approx n_{k+1} \Omega. \quad (30)$$

При достаточно точной настройке

$$\frac{|m_{k+1} \omega - n_{k+1} \Omega|}{m_{k+1} \omega} \ll \beta_{\perp}^2, \quad (31)$$

которая характерна для коротких резонаторов группирователя и отбирателя (или даже для длинного отбирателя при отсутствии в нем догруппировки, например, в случае бегущей *ТЕМ*-волны), выражение (28) для подсчета эффективных длин участков дрейфа существенно упрощается:

$$b_{ii+1} = \int_0^1 \frac{1 - q^2 \varphi_{ii+1} - \beta_{\parallel}^{-2} \varphi_{ii+1}^2}{(1 - q^2 \varphi_{ii+1})^{\frac{3}{2}}} ds. \quad (32)$$

Возвратимся к соотношению (29). Для удобства поменяем порядок суммирования

$$\begin{aligned} \theta_{k+1} = & m_{k+1} (C_{k+1}^{\omega\tau} + \psi_{k+1} + \omega t_1) - n_{k+1} C_{k+1}^{\beta} + \\ & + \frac{m_{k+1} \omega q}{(1 - \beta_{\perp}^2) c^2} \sum_{j=1}^k \tilde{v}_{ij} \sum_{i=j}^k L_{ii+1} b_{ii+1}. \end{aligned} \quad (33)$$

ВЧ поле в резонаторах, гармонически зависящее от времени в лабораторной системе отсчета, воспринимается каждым данным вращающимся электроном как квазистационарное

$$\tilde{E}_j = \hat{E}_j \sin \theta_j; \quad j = 1, 2, \dots, k + 1, \quad (34)$$

поэтому соответствующие приращения орбитальной скорости выражаются как

$$\tilde{v}_{ij} = -\hat{v}_{ij} \sin \theta_j, \quad j = 1, 2, \dots, k + 1. \quad (35)$$

Подставляя (35) в (33) и вводя обозначения для констант

$$\xi_{k+1} = m_{k+1} (C_{k+1}^{\omega\tau} + \psi_{k+1}) - n_{k+1} C_{k+1}^{\beta};$$

$$X_{jk+1} = \frac{m_{k+1}\omega q}{(1 - \beta_{\perp}^2) c^2} v_{tj} \sum_{i=j}^k L_{ii+1} b_{ii+1}, \quad (36)$$

получаем универсальную рекуррентную формулу, связывающую эффективные фазы воздействующих на электроны сил поля в различных резонаторах секционированного группирователя винтового потока

$$\theta_{k+1} = \xi_{k+1} + m_{k+1}\theta_1 - \sum_{j=1}^k X_{jk+1} \sin \theta_j. \quad (37)$$

### Двухкаскадный группирователь винтового электронного потока

В качестве конкретного примера рассмотрим двухкаскадный группирователь ( $k = 1; 2$ ). Для единообразия номером  $k = 3$  будем обозначать короткий отбиратель либо входное сечение длинного отбирателя. При этом формула (37) принимает вид

$$\theta_3 = \xi_3 + m_3\theta_1 - X_{13} \sin \theta_1 - X_{23} \sin (\xi_2 + m_2\theta_1 - X_{12} \sin \theta_1). \quad (38)$$

Из (35) можно заключить, что степень эффективности группировки электронов винтового потока характеризует среднее за период основного тона сигнала значение величины  $\sin \theta_3$ , т. е.

$$J = J(X_{12}, X_{13}, X_{23}, \xi_2, \xi_3, m_2, m_3) =$$

$$= \frac{1}{2\pi} \int_{-\pi}^{+\pi} \sin [\xi_3 + m_3\theta_1 - X_{13} \sin \theta_1 - X_{23} \sin (\xi_2 + m_2\theta_1 - X_{12} \sin \theta_1)] d\theta_1. \quad (39)$$

Если значения интеграла (39) получать численными методами, легко провести оптимизацию всех параметров с целью достижения максимума  $J$ . Согласно результатам оптимизирующей вычислительной процедуры Гаусса—Зайделя, полученным на ЦВМ «Минск-22», для различных комбинаций  $m_2, m_3$  экстремуму отвечают данные следующей таблицы

$m_2$	$m_3$	$X_{12}$	$X_{13}$	$X_{23}$	$\xi_2$	$\xi_3$	$J$	$\eta_{\perp}^I$	$\eta_{\perp}^{II}$
1	1	3,05	3,18	1,57	0,00	1,57	0,88	0,77	0,52
1	2	2,78	5,70	2,72	0,00	1,57	0,84	0,71	0,46
2	1	1,29	2,68	1,46	3,14	1,57	0,85	0,72	0,47
2	2	1,10	4,93	2,38	3,14	1,57	0,80	0,64	0,40

В двух заключительных колонках таблицы указаны величины поперечного электронного к. п. д. отбирателя для его работы на первой или второй гармонике гирочастоты ( $n_3 = 1; 2$ ), подсчитанные по формулам

$$\eta_{\perp}^I = J^2; \quad \eta_{\perp}^{II} = 1 - \sqrt{1 - J^2}, \quad (40)$$

справедливым для модели короткого отбирателя, т. е. без учета догруппировки электронов в процессе отбора мощности. Учет последнего фактора, естественно, повышает к. п. д. Однако достижение указанных в таблице оптимальных значений  $\xi_2$  возможно только при условии внешнего возбуждения второго резонатора (что конструктивно не всегда удобно), а при его возбуждении электронным потоком как следствие



закона сохранения энергии получается  $0 < \xi_2 < \pi$ , что приводит к некоторому снижению к. п. д. Поэтому указанные в таблице величины поперечного электронного к. п. д. отбирателя секционированного гирорезонансного прибора правильно отражают *порядок* истинных значений к. п. д.